

春の学校：Particles, Strings, and Quantum Information

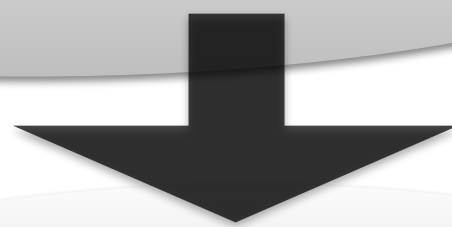
量子情報・計算の基礎

藤井啓祐

京都大学白眉センター/大学院理学研究科

エンタングルメント・量子測定

量子情報・計算



量子誤り訂正

実現

量子暗号
の安全性

誤り耐性
量子計算

量子重力

(Ads/CFT)

吉田紅さんのセミナー

トイモデル

量子アルゴリズム
トポロジカル
量子計算

トイモデル

複雑性

復号化問題

可解模型

TQFT
(Jones多項式)

量子相

(トポロジカル秩序, エニオン)

統計力学

(スピングラス)

目次

第一部：量子計算

- ・量子計算の基礎
- ・量子アルゴリズム
 - Hadamardテスト
 - Shorの素因数分解アルゴリズム
 - Jones多項式の近似**

第二部：量子誤り訂正符号

参考資料：集中講義「量子コンピュータ概論」講義ノート
<http://quantphys.org/keisukefujii/lecture.html>

arXiv: 1504.01444 to be published from SpringerBriefs

量子計算の基礎

量子ビット

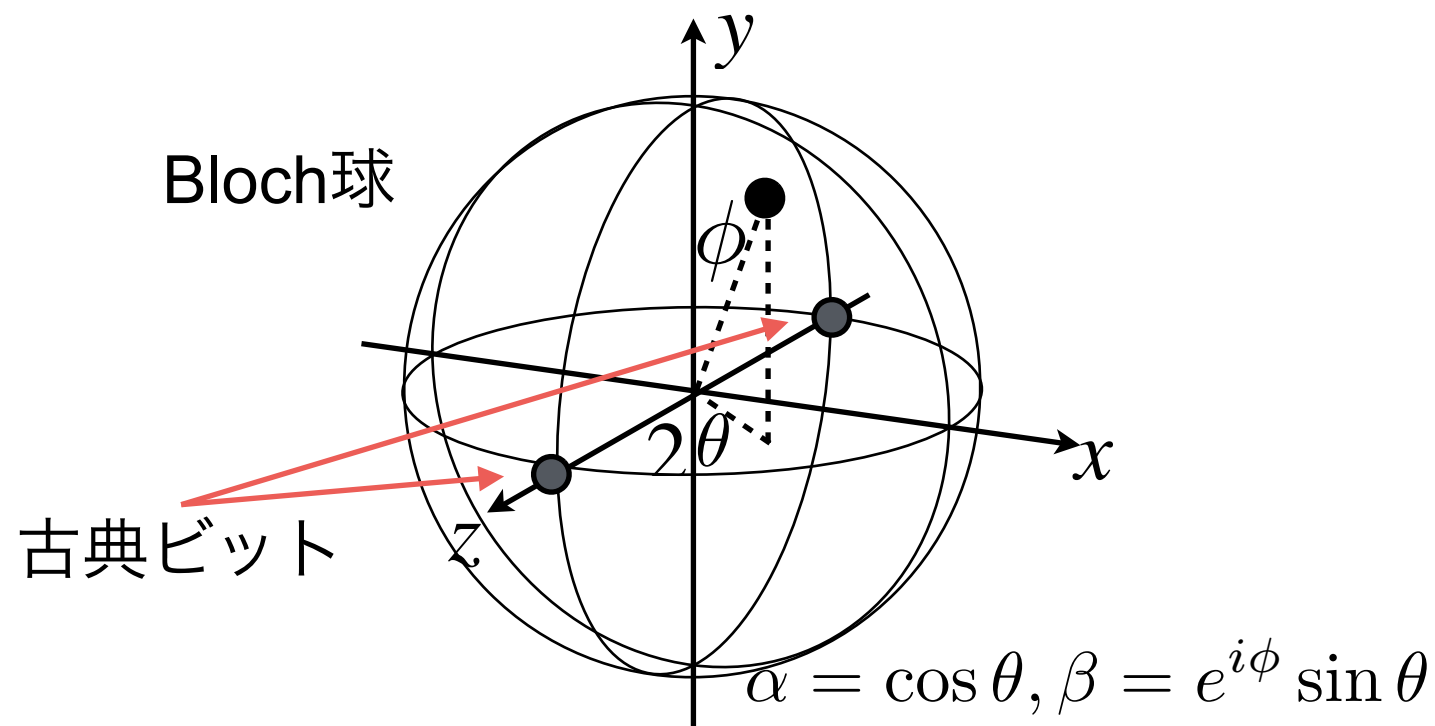
◆ 計算基底(computational basis) $|0\rangle = \begin{pmatrix} 1 \\ 0 \end{pmatrix}$ $|1\rangle = \begin{pmatrix} 0 \\ 1 \end{pmatrix}$

◆ 量子ビット

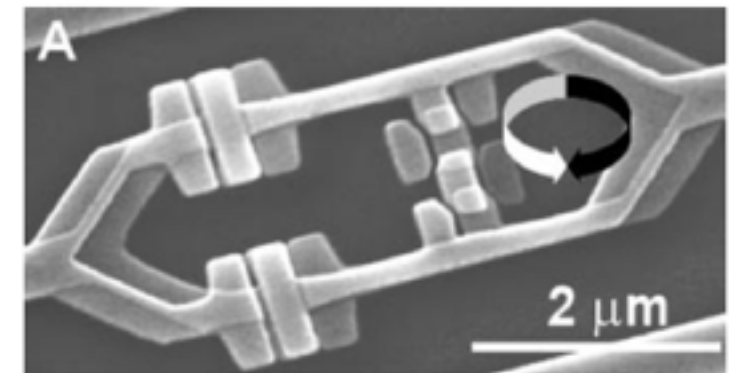
$$|\psi\rangle = \alpha|0\rangle + \beta|1\rangle \quad \alpha, \beta \in \mathbb{C} \quad |\alpha|^2 + |\beta|^2 = 1$$

◆ 射影測定 $\{|0\rangle, |1\rangle\}$

$$p_0 = |\langle 0|\psi\rangle|^2, \quad p_1 = |\langle 1|\psi\rangle|^2$$



単一光子, 電子・核スピン,
イオン・中性原子, 超伝導回路



Chiorescu et al, Science 2003

Pauli演算子

◆ Pauli演算子

$$X = \begin{pmatrix} 0 & 1 \\ 1 & 0 \end{pmatrix} \quad Y = \begin{pmatrix} 0 & -i \\ i & 0 \end{pmatrix} \quad Z = \begin{pmatrix} 1 & 0 \\ 0 & -1 \end{pmatrix}$$

- 反交換(anti-commute): $ZX = -XZ$
- $XZ = iY$

$$X|0\rangle = |1\rangle \quad X|1\rangle = |0\rangle \quad (\text{bit-flip})$$

$$Z|0\rangle = |0\rangle \quad Z|1\rangle = -|1\rangle \quad (\text{phase-flip})$$

$$Y|0\rangle = i|1\rangle \quad Y|1\rangle = -i|0\rangle \quad (\text{bit\&phase-flip + global phase})$$

◆ Pauli演算子の固有状態 (Pauli基底)

$$\begin{array}{cc} Z \rightarrow |0\rangle, |1\rangle & X \rightarrow |+\rangle \equiv (|0\rangle + |1\rangle)/\sqrt{2}, |-\rangle \equiv (|0\rangle - |1\rangle)/\sqrt{2} \\ \text{Z basis} & \text{X basis} \end{array}$$

単一量子ビット演算

◆ x,y,z軸回転

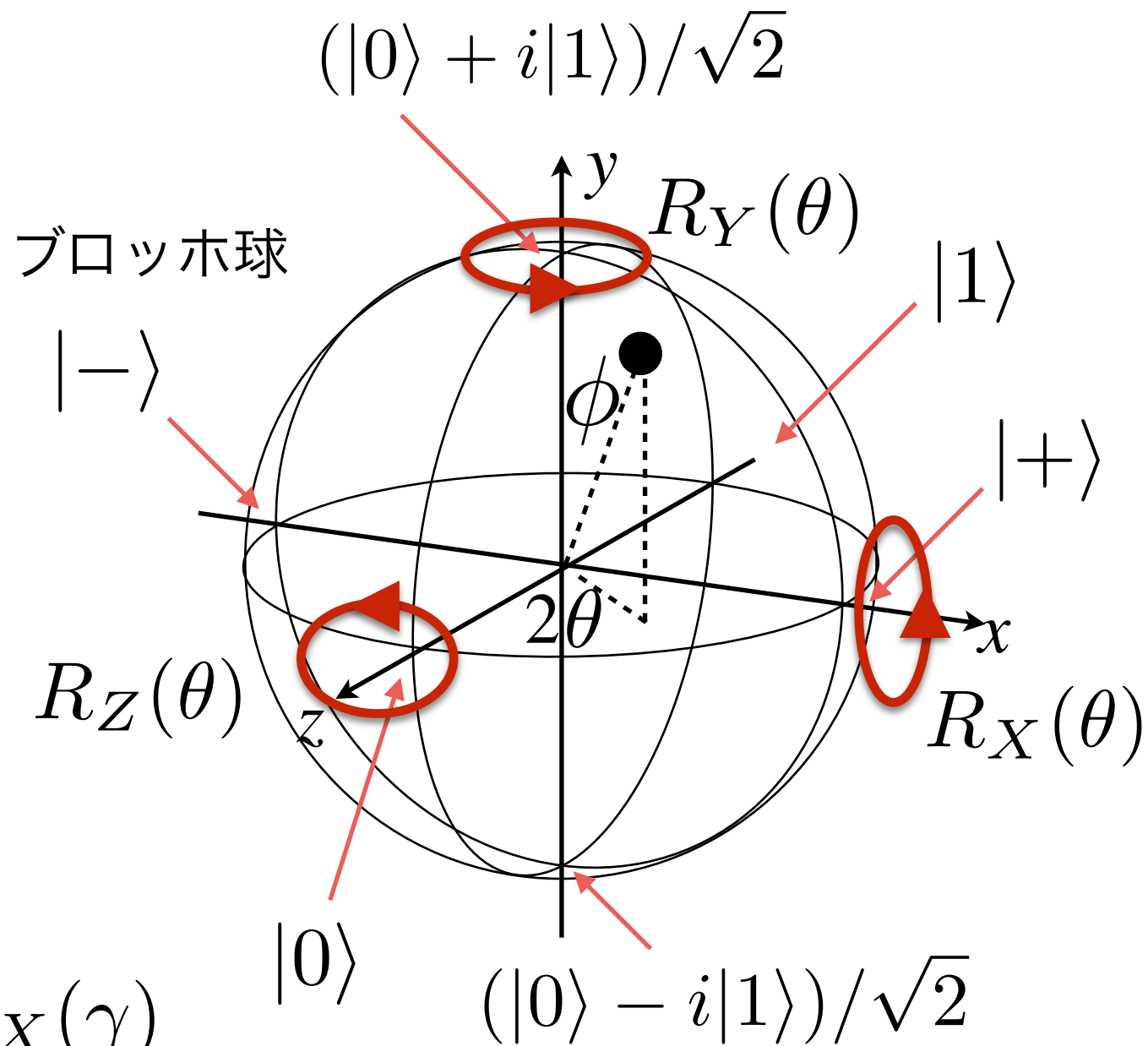
$$R_A(\theta) = e^{-i\frac{\theta}{2}A}$$

$$A = X, Y, Z$$

例) $e^{-i\frac{\pi}{4}Y} |0\rangle = |+\rangle$

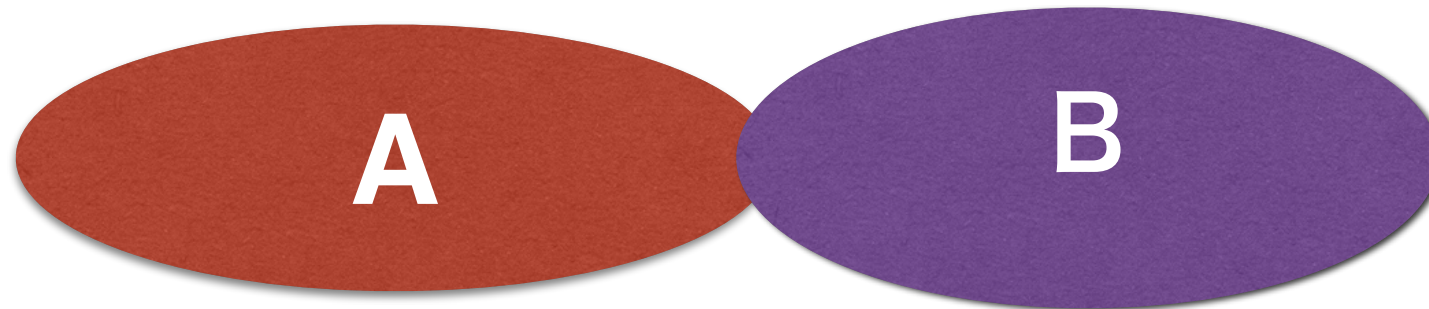
◆ SU(2)のEuler分解:

$$U = R_X(\alpha)R_Z(\beta)R_X(\gamma)$$



多量子ビット系

◆合成系 = テンソル積 :



$$\mathcal{H}_A \otimes \mathcal{H}_B$$

◆テンソル積

$$|0\rangle \otimes |1\rangle = \begin{pmatrix} 1 \\ 0 \end{pmatrix} \otimes \begin{pmatrix} 0 \\ 1 \end{pmatrix} = \begin{pmatrix} 0 \\ 1 \\ 0 \\ 0 \end{pmatrix} \begin{matrix} |00\rangle \\ |01\rangle \\ |10\rangle \\ |11\rangle \end{matrix} \quad \text{Kronecker product}$$

◆テンソル積空間の基底

$$\{|0\rangle, |1\rangle\} \otimes \{|0\rangle, |1\rangle\} \rightarrow |00\rangle, |01\rangle, |10\rangle, |11\rangle$$

$$\text{エンタングル状態: } (|00\rangle + |11\rangle)/\sqrt{2}$$

多量子ビット系

◆ n 量子ビット系 (2^n 次元) の記述

$$|\Psi\rangle = \sum_{i_1, i_2, \dots, i_n} \underline{C_{i_1, i_2, \dots, i_n}} |i_1 i_2 \dots i_n\rangle \quad (i_k = 0, 1)$$

2^n 個の複素パラメータ!!!



Richard Phillips
Feynman
(1918-1988)

*“If a computer stimulates this require **an exponentially explosive growth in the size** of the simulating computer.”*

*“Let the computer itself be **built of quantum mechanical elements** which obey quantum mechanical laws.”*

“Simulating Physics with Computers”
International Journal of Theoretical Physics (1982)

多量子ビット演算子

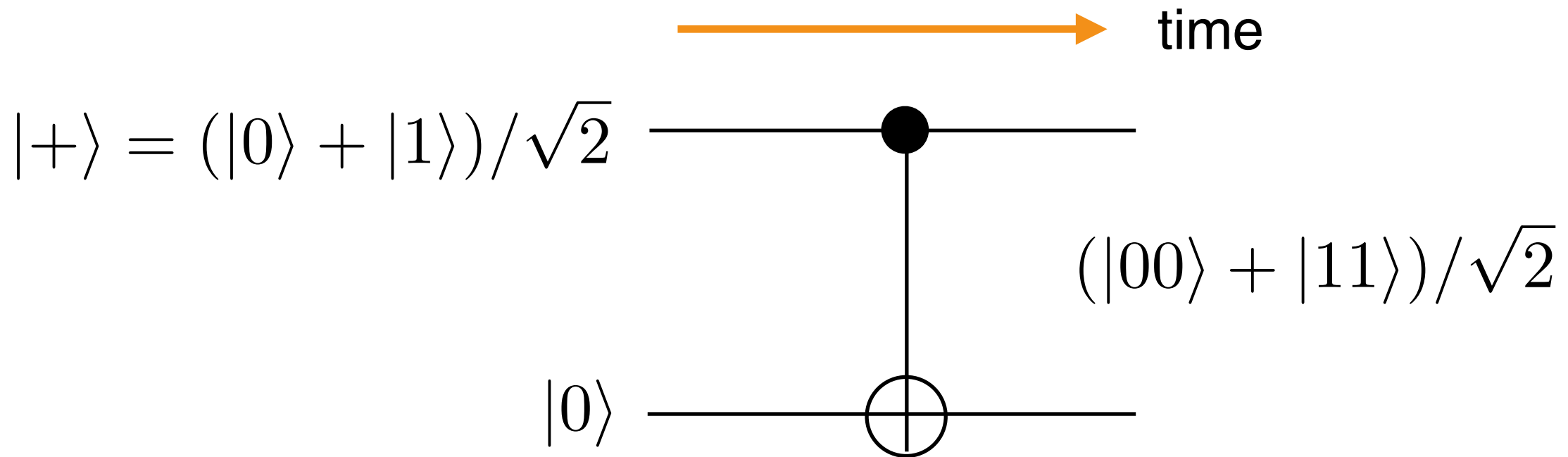
◆ CNOT (controlled NOT)

$$\Lambda(X) \quad \begin{array}{c} \text{---} \bullet \text{---} \\ | \\ \text{---} \oplus \text{---} \end{array} \quad \begin{pmatrix} 1 & 0 & 0 & 0 \\ 0 & 1 & 0 & 0 \\ 0 & 0 & 0 & 1 \\ 0 & 0 & 1 & 0 \end{pmatrix} \begin{array}{l} |00\rangle \\ |01\rangle \\ |10\rangle \\ |11\rangle \end{array} = |0\rangle\langle 0| \otimes I + |1\rangle\langle 1| \otimes X$$

◆ CZ (controlled Z)

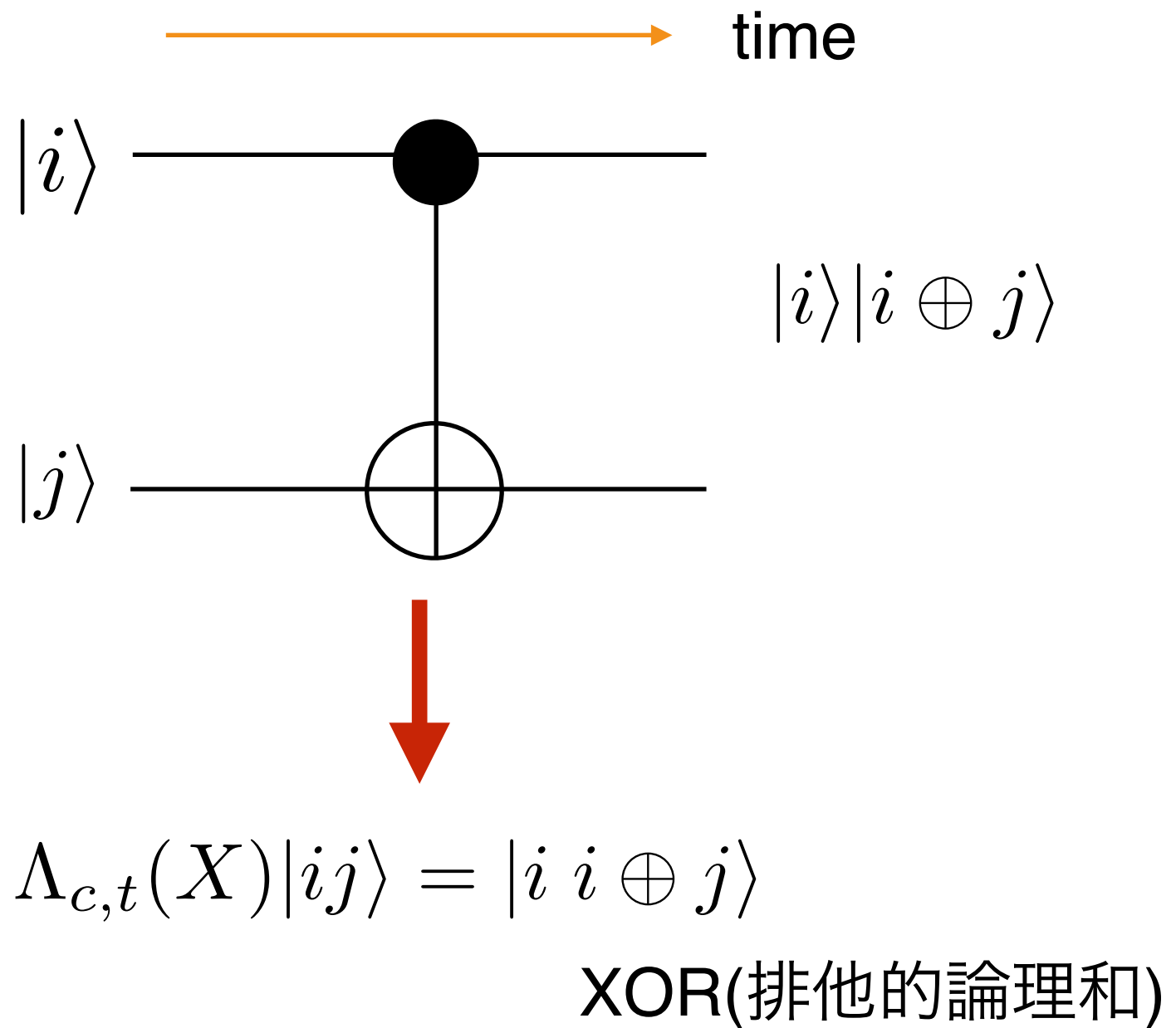
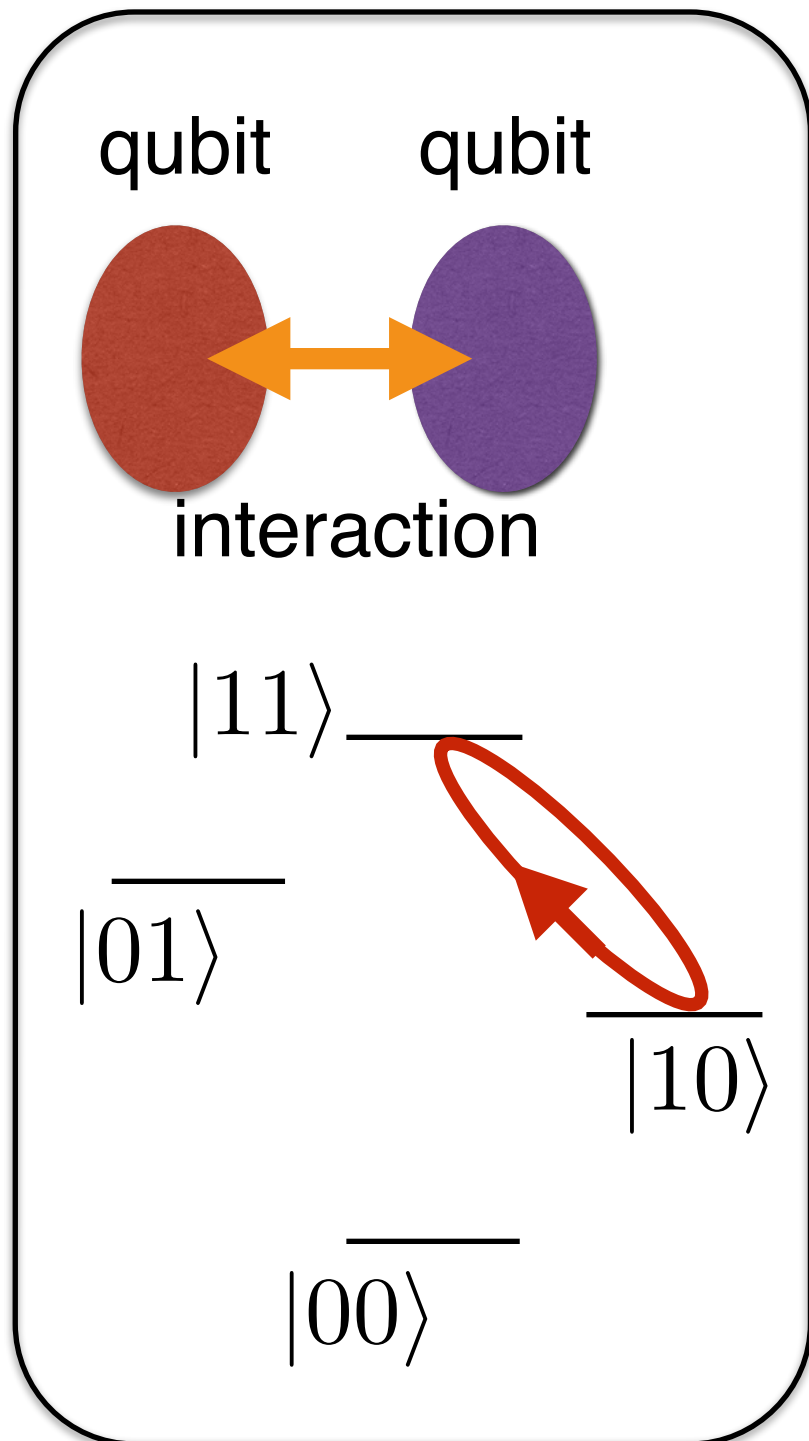
$$\Lambda(Z) \quad \begin{array}{c} \text{---} \bullet \text{---} \\ | \\ \text{---} \bullet \text{---} \end{array} \quad \begin{pmatrix} 1 & 0 & 0 & 0 \\ 0 & 1 & 0 & 0 \\ 0 & 0 & 1 & 0 \\ 0 & 0 & 0 & -1 \end{pmatrix} \begin{array}{l} |00\rangle \\ |01\rangle \\ |10\rangle \\ |11\rangle \end{array} = |0\rangle\langle 0| \otimes I + |1\rangle\langle 1| \otimes Z$$
$$e^{-i\pi/4(Z_1 Z_2 - Z_1 - Z_2 - I)}$$

量子回路



$$\Lambda_{c,t}(X)|+\rangle_c|0\rangle_t = (|00\rangle + |11\rangle)/\sqrt{2}$$

量子回路



多量子ビット演算子

◆ CNOT (controlled NOT)

$$\Lambda(X) \quad \begin{array}{c} \text{---} \bullet \text{---} \\ | \\ \text{---} \oplus \text{---} \end{array} \quad \begin{pmatrix} 1 & 0 & 0 & 0 \\ 0 & 1 & 0 & 0 \\ 0 & 0 & 0 & 1 \\ 0 & 0 & 1 & 0 \end{pmatrix} \begin{array}{l} |00\rangle \\ |01\rangle \\ |10\rangle \\ |11\rangle \end{array} = |0\rangle\langle 0| \otimes I + |1\rangle\langle 1| \otimes X$$

◆ CZ (controlled Z)

$$\Lambda(Z) \quad \begin{array}{c} \text{---} \bullet \text{---} \\ | \\ \text{---} \bullet \text{---} \end{array} \quad \begin{pmatrix} 1 & 0 & 0 & 0 \\ 0 & 1 & 0 & 0 \\ 0 & 0 & 1 & 0 \\ 0 & 0 & 0 & -1 \end{pmatrix} \begin{array}{l} |00\rangle \\ |01\rangle \\ |10\rangle \\ |11\rangle \end{array} = |0\rangle\langle 0| \otimes I + |1\rangle\langle 1| \otimes Z$$
$$e^{-i\pi/4(Z_1 Z_2 - Z_1 - Z_2 - I)}$$

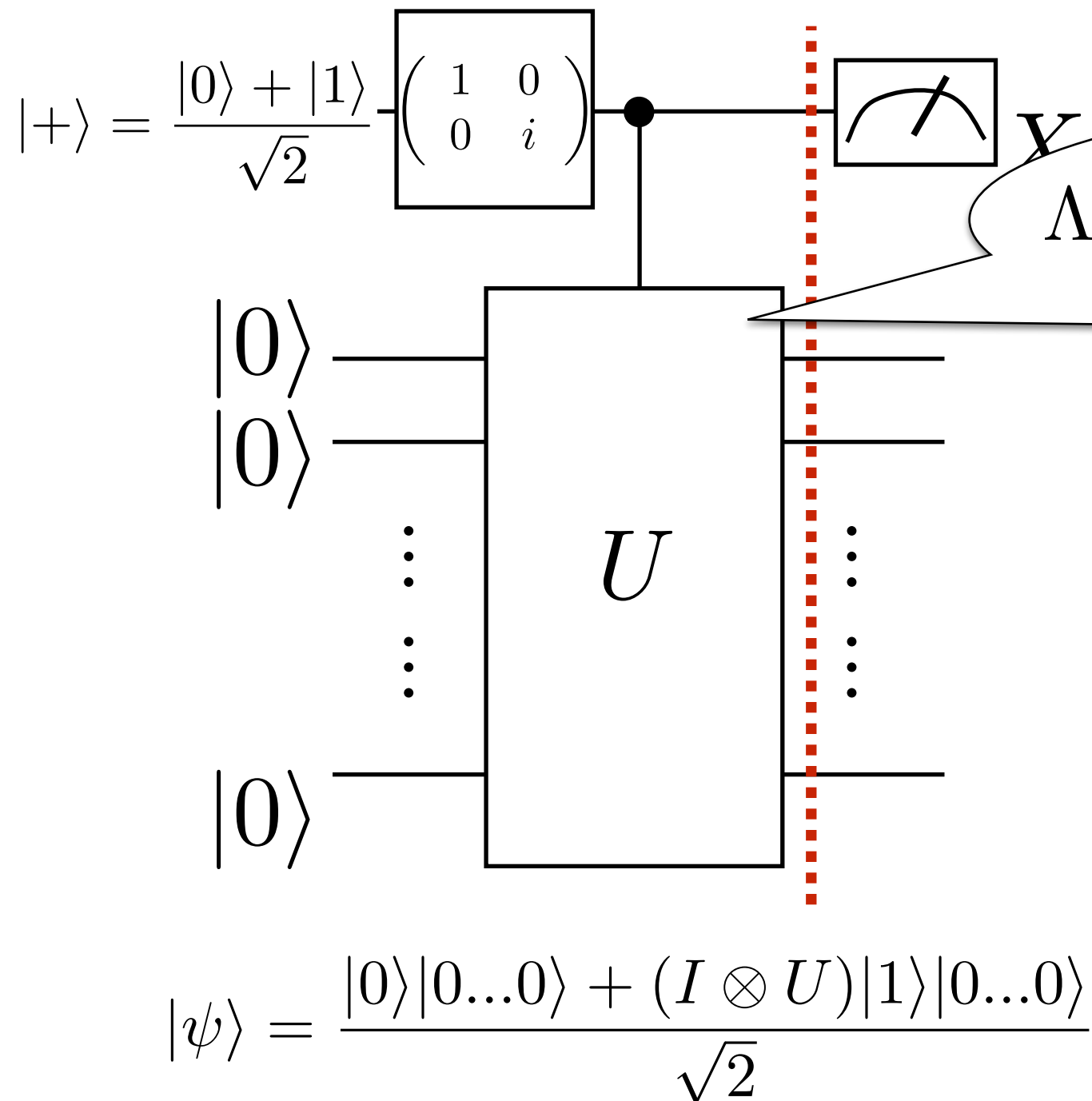
CNOT と **SU(2)** で任意の n 量子ビットユニタリ演算子を構成できる. → **万能量子計算**

universal quantum computation

量子アルゴリズム

量子計算機で何が計算できるか？

Hadamardテスト



$$p_{\pm} = \|(\langle \pm | \otimes I) |\psi\rangle\|^2$$

$$\Lambda(U) = |0\rangle\langle 0| \otimes I + |1\rangle\langle 1| \otimes U$$

$$p_- = \frac{1}{2}(1 - \text{Re}\langle 00\dots 0|U|00\dots 0\rangle)$$

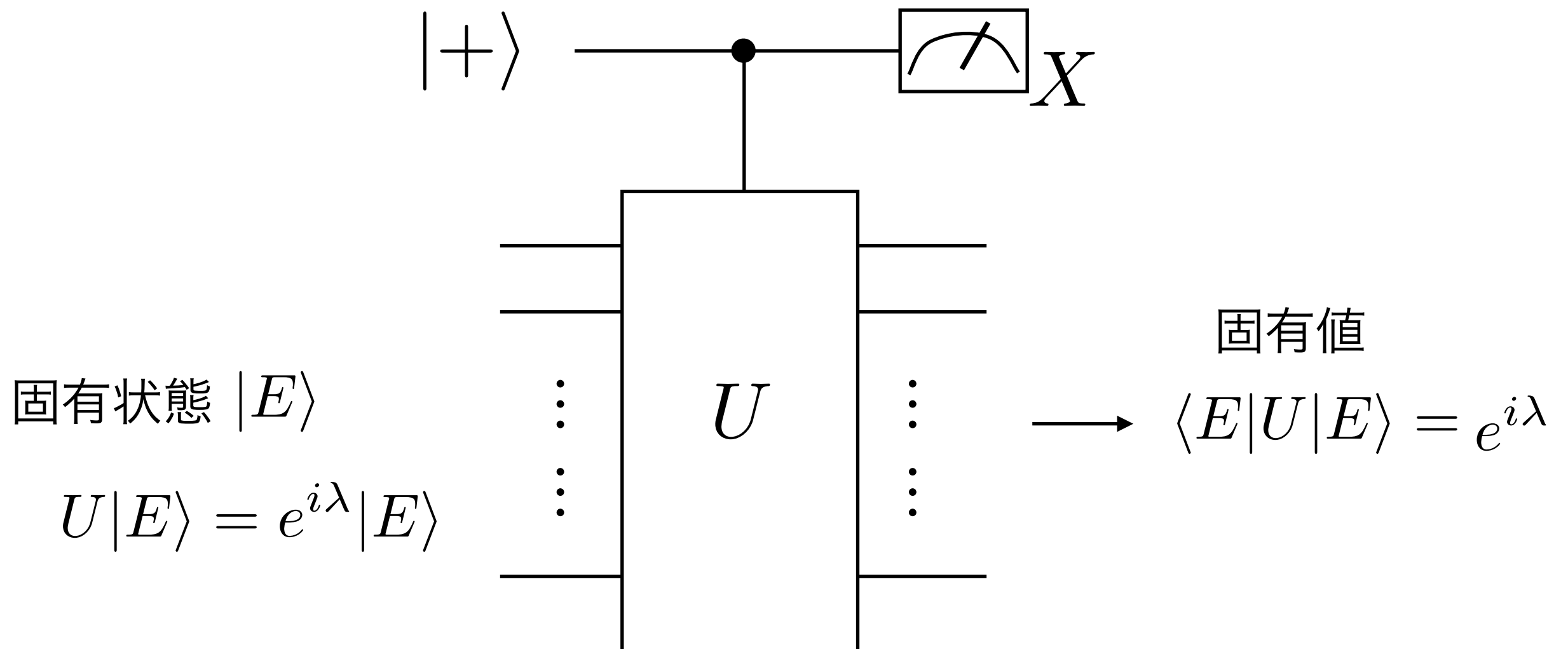
$$\longrightarrow \langle 00\dots 0|U|00\dots 0\rangle$$

$2^n \times 2^n$ ユニタリ演算子の行列要素

Chernoff-Hoeffding 限界

$$\text{Prob} \left(\left| \frac{N_+}{N} - p_+ \right| > \delta \right) \leq 2e^{-2\delta^2 N}$$

Hadamardテスト



λ をもっと精度よく推定できないか？

量子フーリエ変換 & Kitaevの位相推定

→ある性質をもったの U に対しては λ を多項式桁まで推定できる。

Shorの素因数分解アルゴリズム

N, x : 互いに素な整数. $(x^{r/2} - 1)(x^{r/2} + 1) = 0 \pmod{N}$
 r : 位数 $x^r = 1 \pmod{N}$ GCD $\rightarrow N$ の因数

Peter Shor



<http://www-math.mit.edu/~shor/>

$$U_x = \sum_y |xy \pmod{N}\rangle \langle y|$$

$$U_x |u_s\rangle = e^{2\pi i(s/r)} |u_s\rangle \quad \begin{array}{l} \text{位相推定} \\ \text{(連分数展開)} \end{array}$$

$$\left(|u_s\rangle = \frac{1}{\sqrt{r}} \sum_{k=0}^{r-1} e^{-2\pi i(s/r)k} |x^k \pmod{N}\rangle. \right)$$

Jones多項式の近似量子アルゴリズム

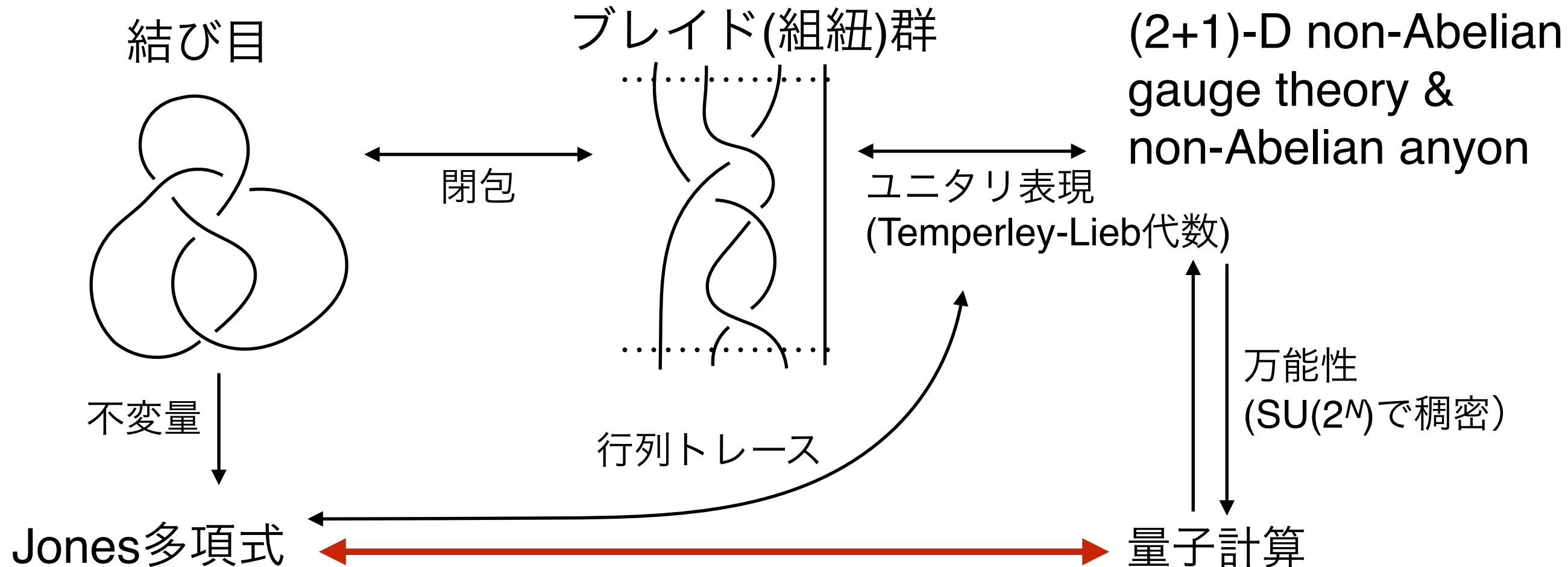
Jones多項式の近似と量子計算

Jones多項式：結び目(knot)不変量（多項式）

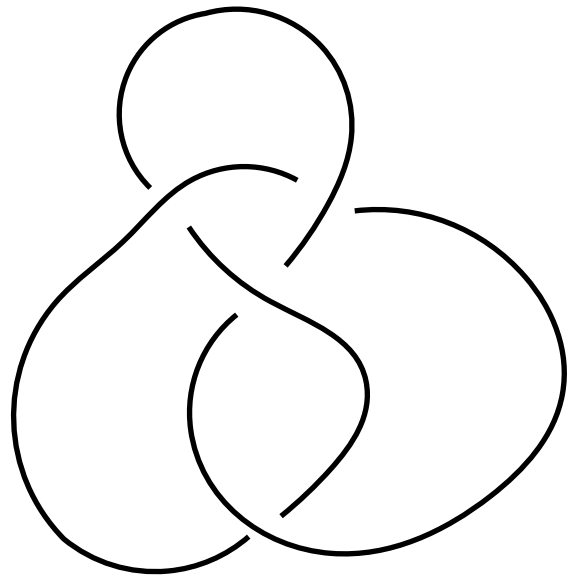
⇔ TQFT/Chern-Simons theory [Witten89]

⇔ TQFT ⇔ 量子計算 [Freedman-Kitaev-Larsen-Wang03]

⇔ 量子計算 [Aharonov-Jones-Landau08]



結び目(knot)

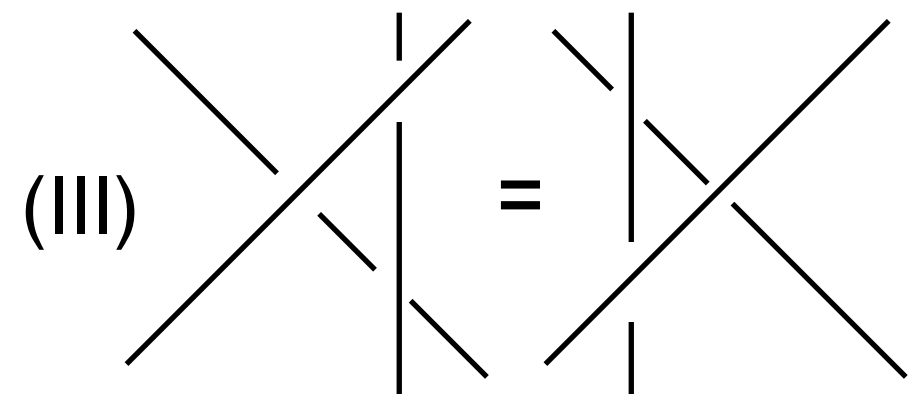
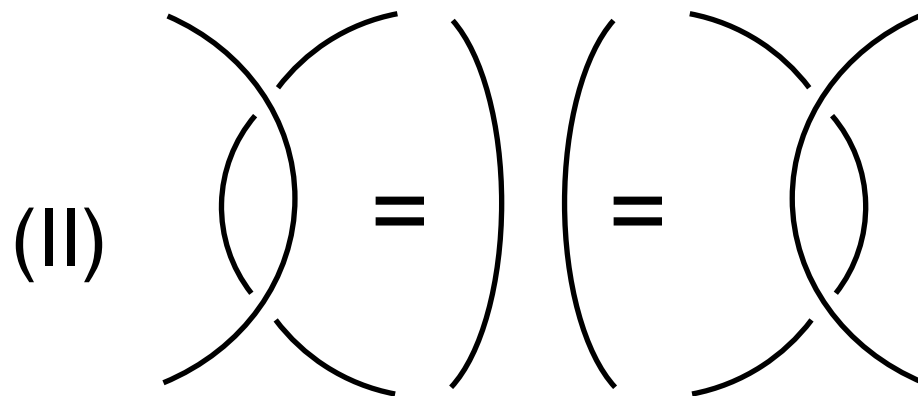
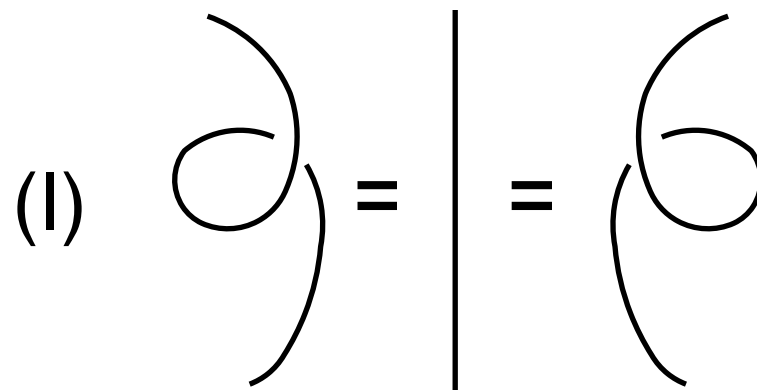


2次元での射影図

結び目の変形：

連続変形

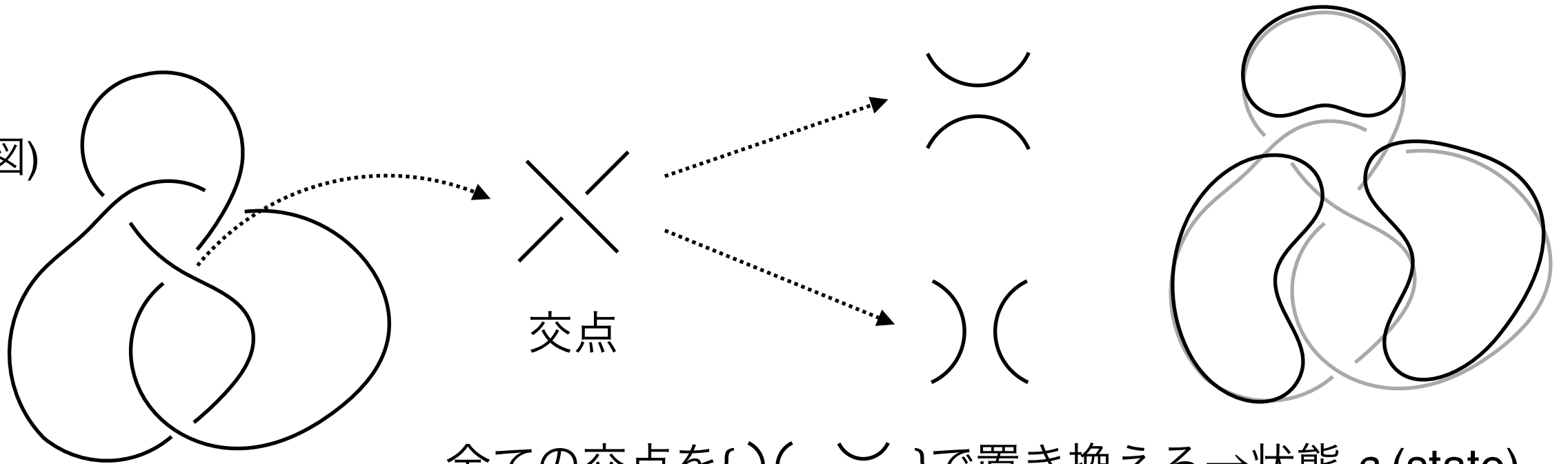
Reidemeister変形



これらの変形に対して不変な量は？

Jones多項式

結び目 L
(2次元射影図)



全ての交点を $\{ \) (, \) (\}$ で置き換える \rightarrow 状態 s (state)

Kauffman多項式: $\langle L \rangle = \sum_s A^{s^+ - s^-} d^{|s| - 1}$

$s^+ \equiv \) (\) の数, $s^- \equiv \) (\) の数, $|s| \equiv$ ループの数, $d = -(A^2 + A^{-2})$$$

Jones多項式: $V_L(t) = (-A)^{3w(L)} \langle L \rangle \quad t = A^{-4}$

$w(L) \equiv (\nearrow \searrow \) の数) - (\searrow \nearrow \) の数)
ひねり数(writhe)$

Jones多項式

Kauffman多項式

$$\langle \text{Diagram 1} \rangle = A^{-1} \langle \text{Diagram 2} \rangle + A \langle \text{Diagram 3} \rangle$$

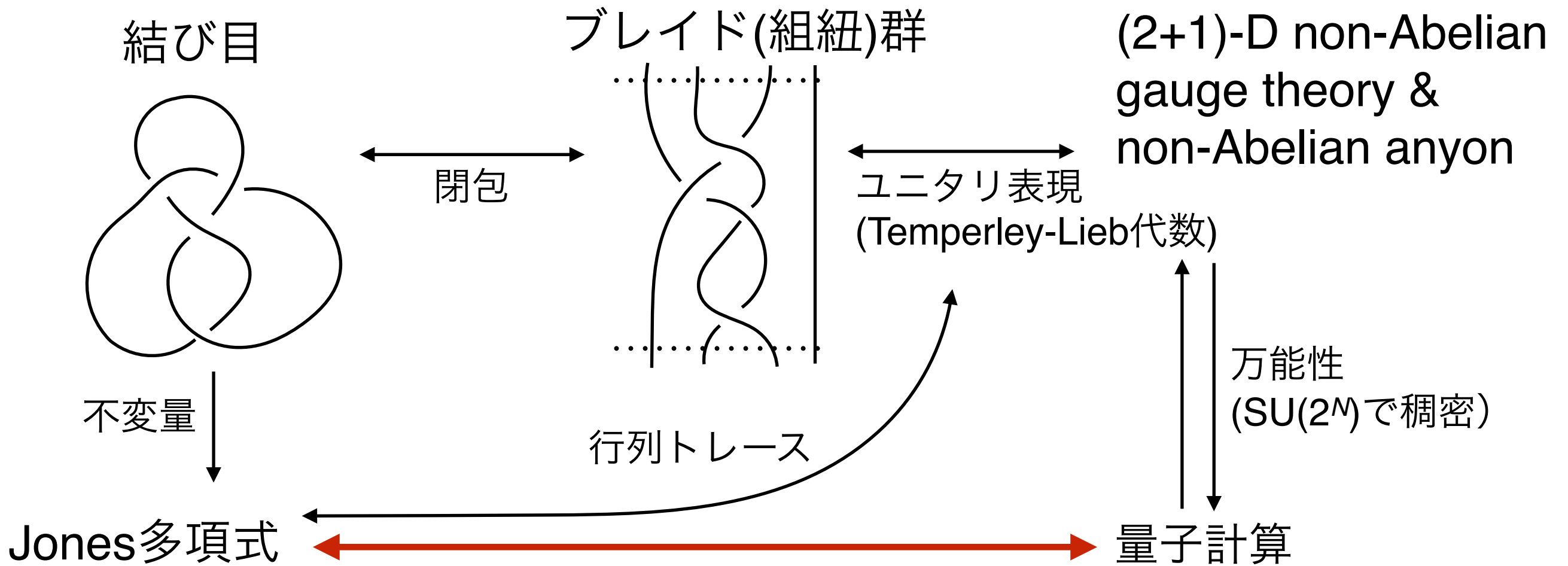
$$= d A^{-1} \langle \text{Diagram 4} \rangle + A \langle \text{Diagram 5} \rangle$$

$$= (d A^{-1} + A) \langle \text{Diagram 6} \rangle$$

$$= -A^{-3} \langle \text{Diagram 6} \rangle$$

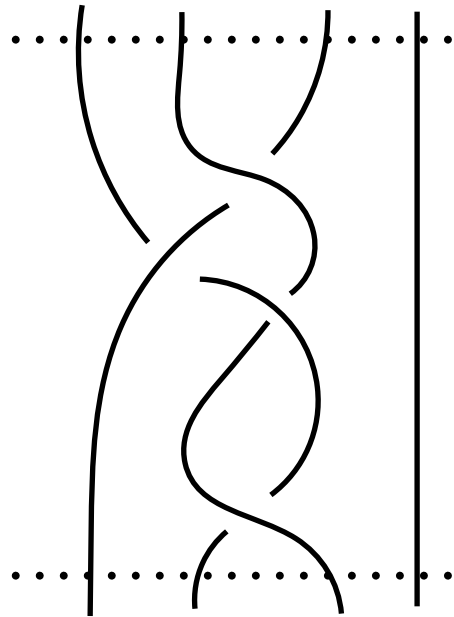
*Jones*多項式は不変！

Reidemeister変形(II), (III)に対しても同様に不変である事が示せる。



ブレイド群 B_n

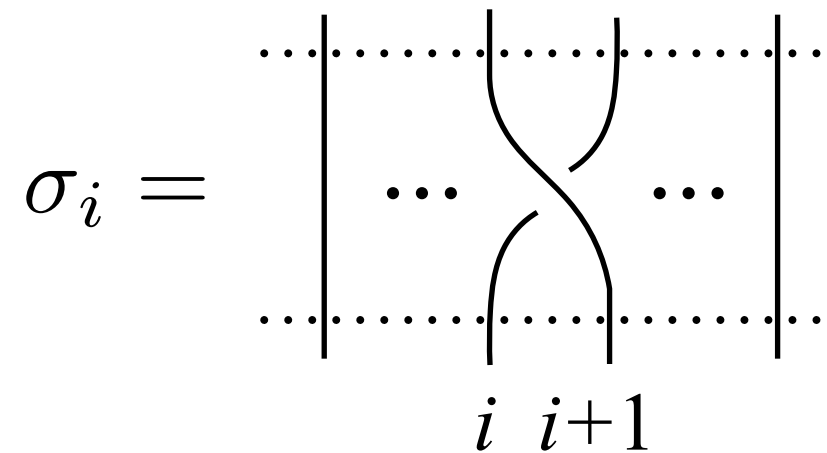
ブレイド
(組紐)



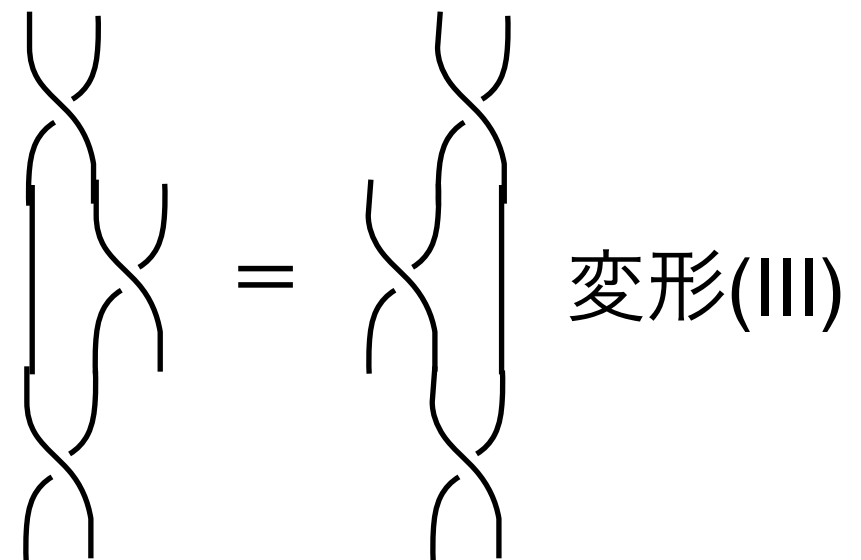
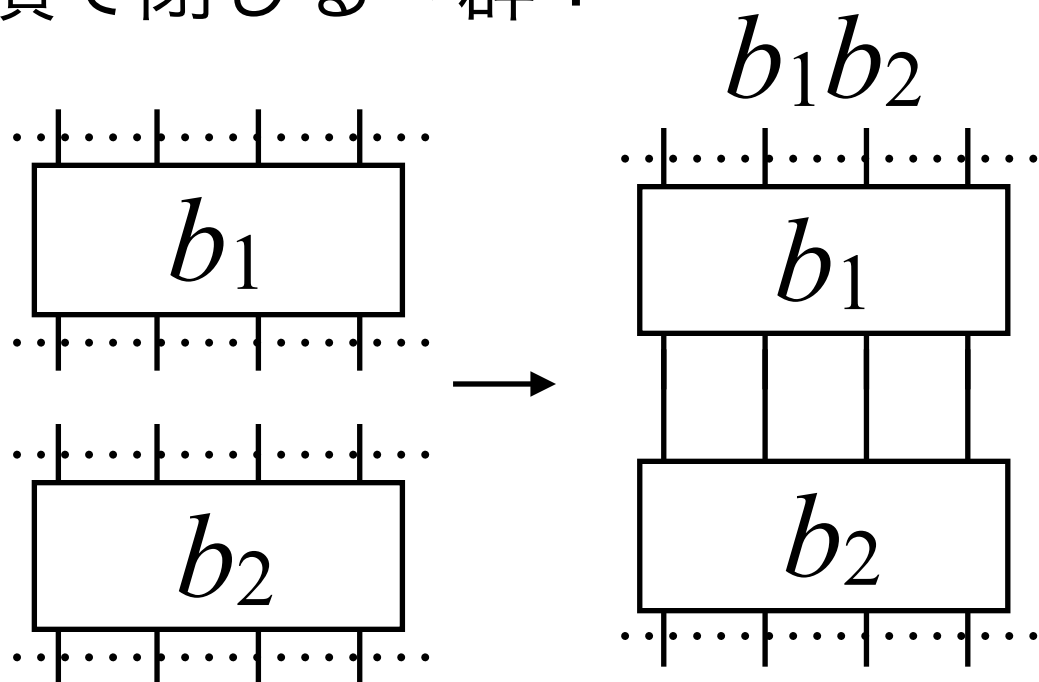
生成元 $\{\sigma_i\}$:

$$\sigma_i \sigma_j = \sigma_j \sigma_i \text{ for } |i - j| \geq 2$$

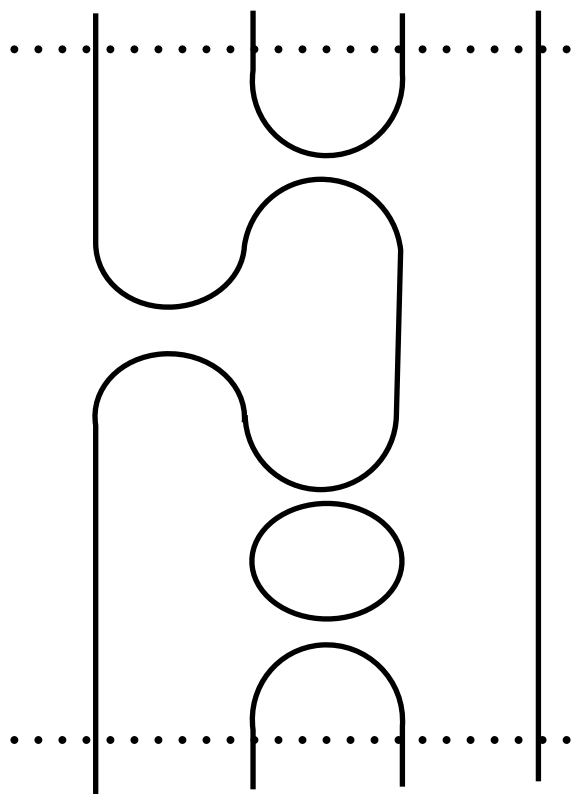
$$\sigma_i \sigma_{i+1} \sigma_i = \sigma_{i+1} \sigma_i \sigma_{i+1}.$$



積で閉じる \rightarrow 群:



Temperley-Lieb代数 $TL_n(d)$



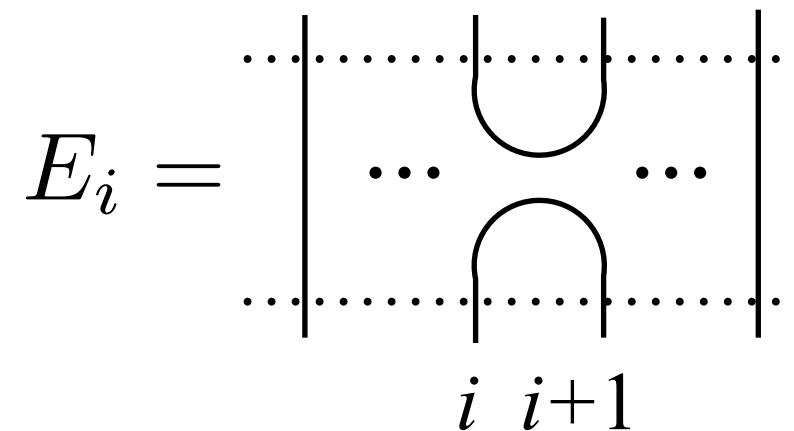
タンゲル図

生成元 $\{E_i\}$:

$$E_i E_j = E_j E_i \text{ for } |i - j| \geq 2,$$

$$E_i E_{i \pm 1} E_i = E_i,$$

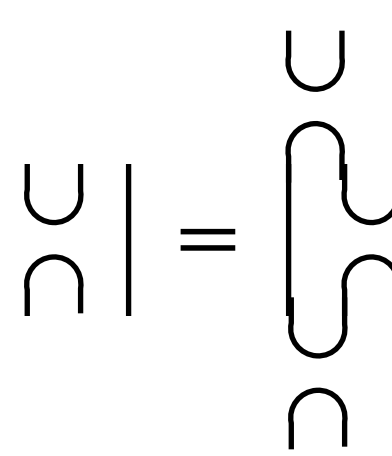
$$E_i^2 = d E_i.$$



$$\tilde{\rho}(\sigma_i) \equiv A \rho(E_i) + A^{-1} I$$



TL代数の表現



$$\tilde{\rho} \left(\begin{array}{c} \cup \\ \cap \end{array} \right) \equiv \rho \left(A \begin{array}{c} \cup \\ \cap \end{array} + A^{-1} \begin{array}{c} | \\ | \end{array} \right)$$

Jones多項式とブレイド群

$$\tilde{\rho}(\sigma_i) \equiv A\rho(E_i) + A^{-1}I$$

$$\tilde{\rho}\left(\begin{array}{c} \cup \\ \cap \end{array}\right) \equiv \rho\left(A \begin{array}{c} \cup \\ \cap \end{array} + A^{-1} \left| \begin{array}{c} | \\ | \end{array}\right.\right)$$

トレース閉包

$$d^{n-1} \text{Tr} \left[\tilde{\rho} \left(\begin{array}{c} \dots \\ \cup \\ \cap \\ \dots \end{array} \right) \right] = \left\langle \begin{array}{c} \dots \\ \text{閉包} \\ \dots \end{array} \right\rangle$$

行列トレース

Kauffman多項式

Jones多項式

ブレイド群の表現のトレース

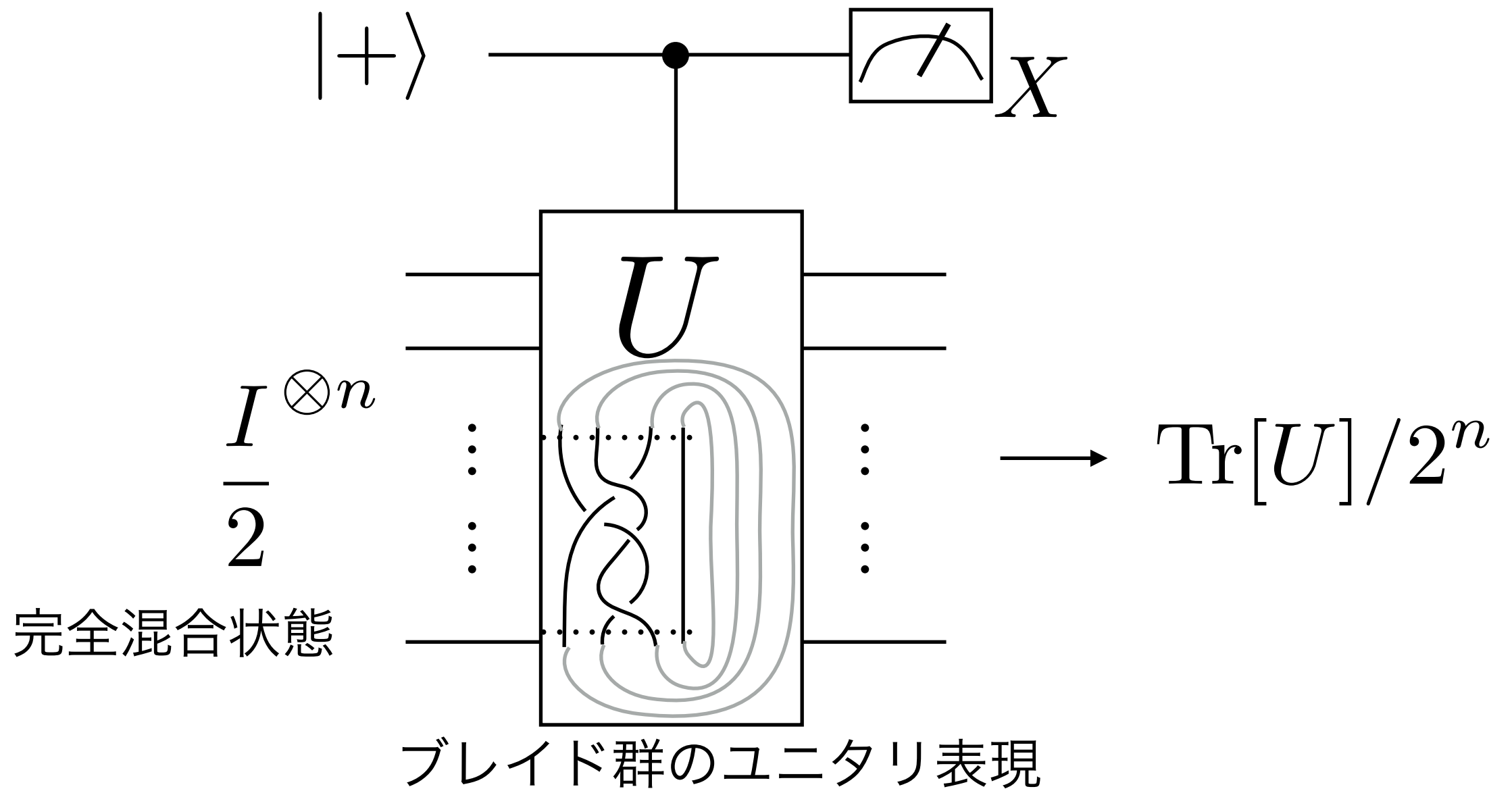
$$V_{b^{\text{tr}}}(t) = (-A)^{3w(b^{\text{tr}})} d^{n-1} \text{Tr}[\tilde{\rho}(b)]$$

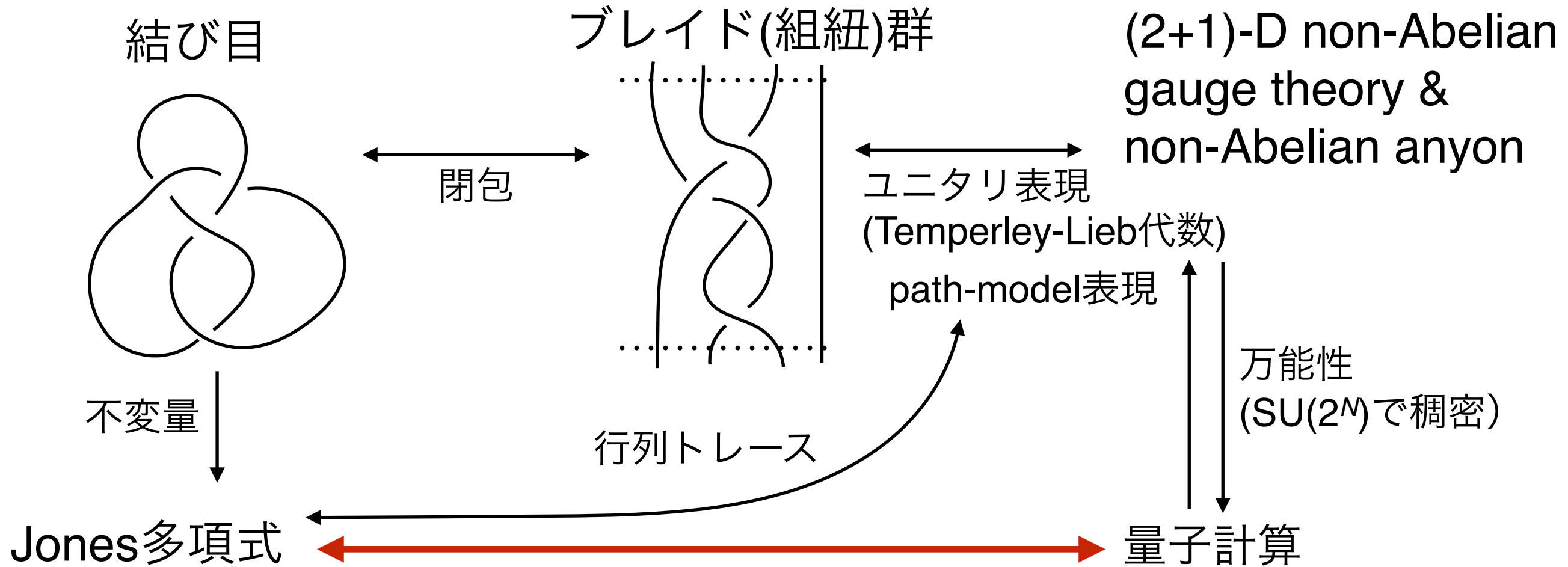
Jones多項式と量子計算

Jones多項式

ブレイド群の表現のトレース

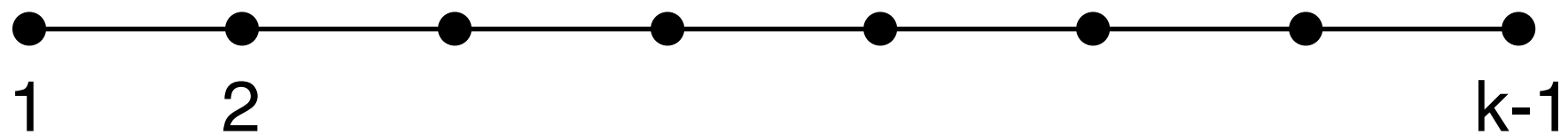
$$V_{b^{\text{tr}}}(t) = (-A)^{3w(b^{\text{tr}})} d^{n-1} \text{Tr}[\tilde{\rho}(b)]$$





Path-model表現

1次元グラフ ($k-1$ 頂点) 上の n ステップウォークを考える



path: $p=1 \rightarrow 2 \rightarrow 1 \rightarrow 2 \rightarrow 3 \dots$

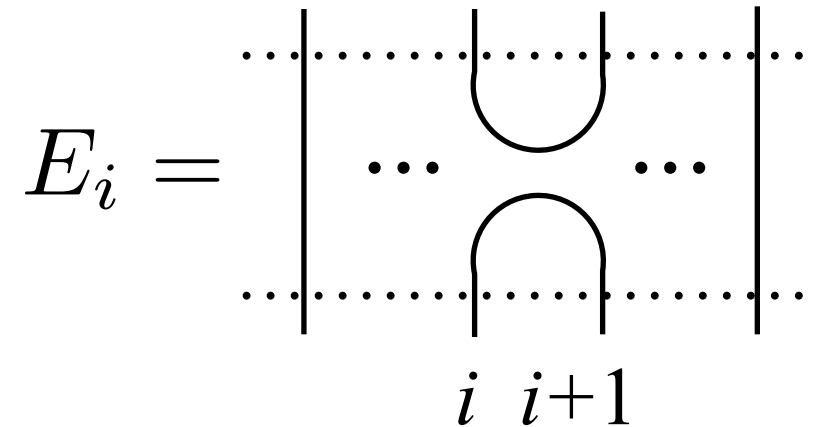
↓ 左、右への移動によって0,1表示

$p= 1 \quad 0 \quad 1 \quad 1 \quad \dots$

pathを基底として空間を構成 $\rightarrow |p\rangle \in \mathcal{H}_{n,k}$

Path-model表現

$z_i \in \{1, \dots, k-1\}$: ステップ i の前にいた頂点



$$\rho(E_i)|\dots v_{i-1} 00 v_{i+2} \dots\rangle = 0,$$

$$\rho(E_i)|\dots v_{i-1} 01 v_{i+2} \dots\rangle = \frac{\lambda_{z_i-1}}{\lambda_{z_i}} |\dots v_{i-1} 01 v_{i+2} \dots\rangle + \frac{\sqrt{\lambda_{z_i+1} \lambda_{z_i-1}}}{\lambda_{z_i}} |\dots v_{i-1} 10 v_{i+2} \dots\rangle,$$

$$\rho(E_i)|\dots v_{i-1} 10 v_{i+2} \dots\rangle = \frac{\lambda_{z_i+1}}{\lambda_{z_i}} |\dots v_{i-1} 10 v_{i+2} \dots\rangle + \frac{\sqrt{\lambda_{z_i+1} \lambda_{z_i-1}}}{\lambda_{z_i}} |\dots v_{i-1} 01 v_{i+2} \dots\rangle,$$

$$\rho(E_i)|\dots v_{i-1} 11 v_{i+2} \dots\rangle = 0,$$

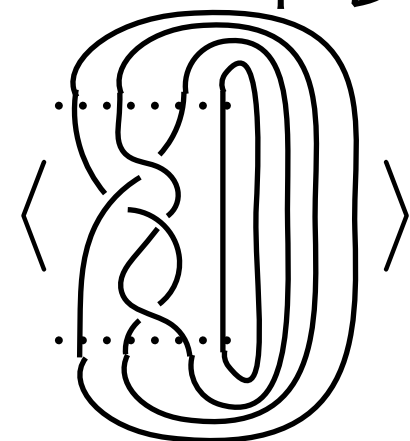
$$\lambda_j = \sin(j\pi/k) \quad A = ie^{-i\pi/(2k)} \quad d = 2 \cos(\pi/k)$$

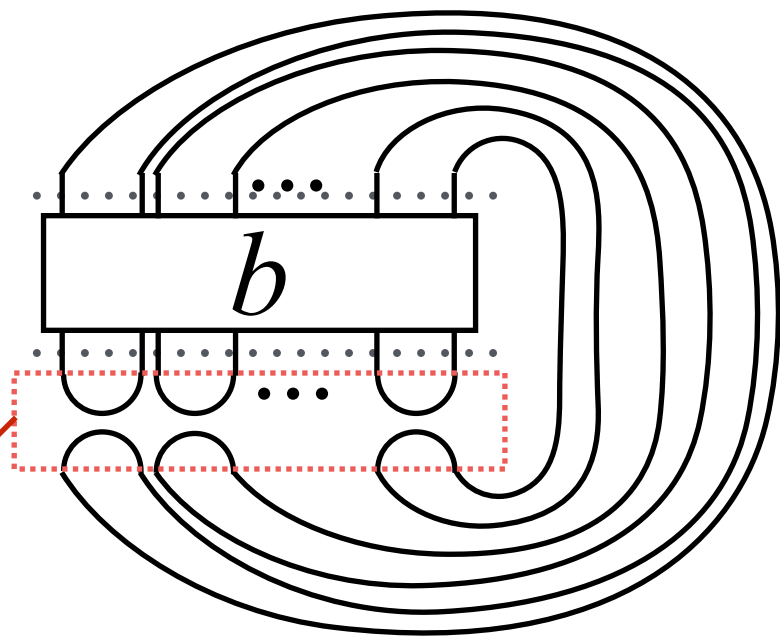
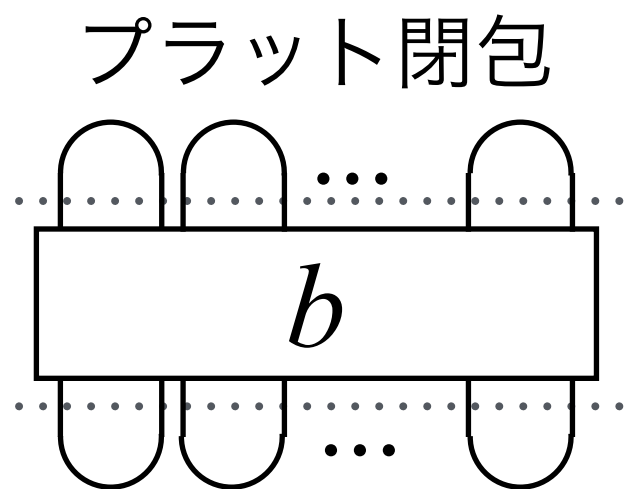
$$(j = 1, \dots, k-1)$$

→ $\rho(E_i)$ はエルミート、 $\tilde{\rho}(\sigma_i)$ はユニタリ演算子

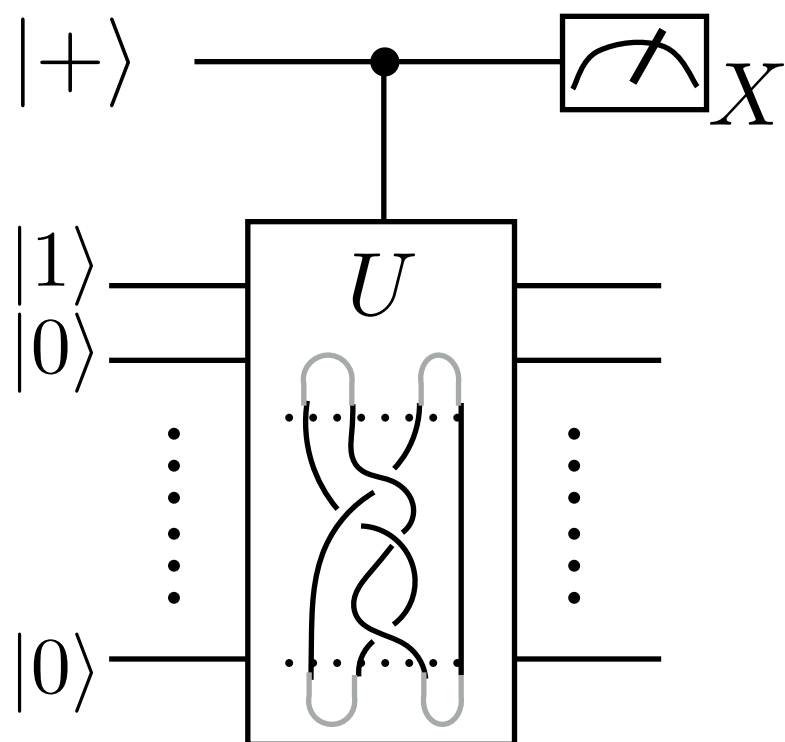
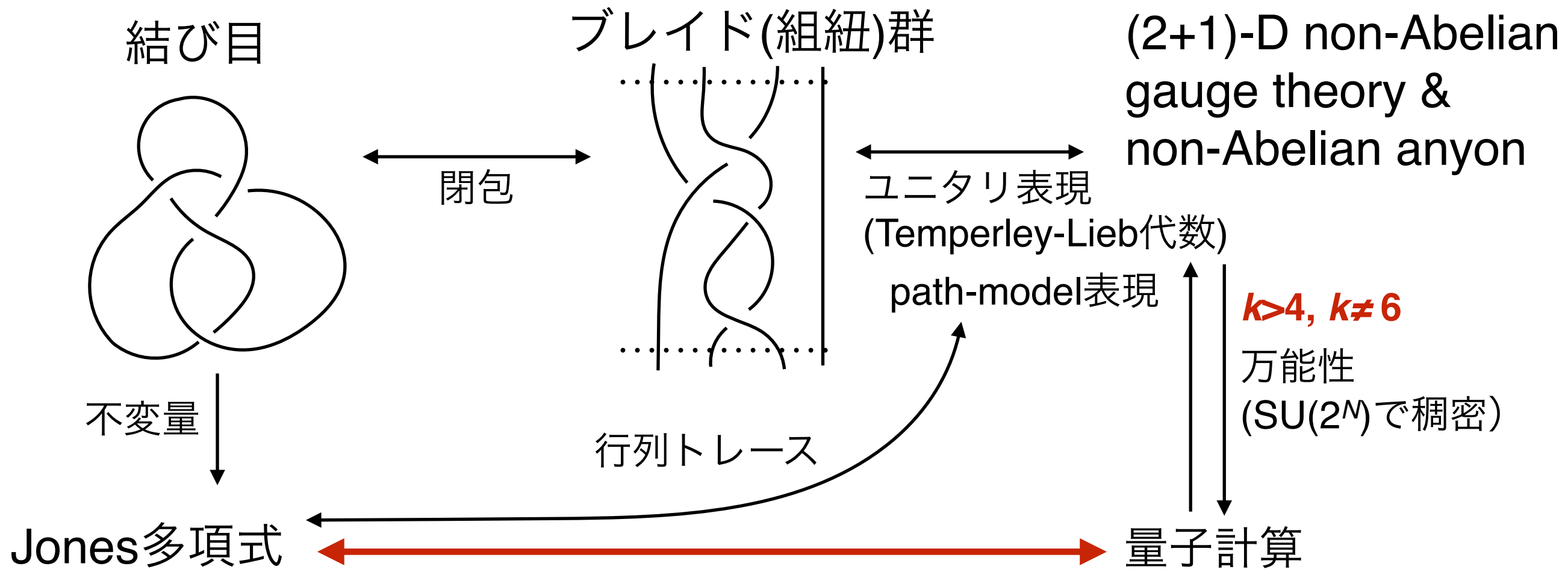
(SU(2) Chern-Simons level-(k-2) theory [Witten89])

プラット閉包

$$d^{n-1} \text{Tr}[\tilde{\rho} \left(\left. \begin{array}{c} \vdots \\ \vdots \\ \vdots \end{array} \right| \right)] = \langle \text{トレース閉包} \rangle$$


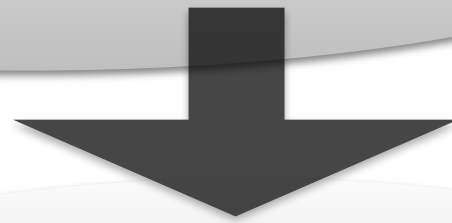


path $|p_0\rangle \equiv |1010\dots 10\rangle$ への射影演算子(定数倍)



エンタングルメント・量子測定

量子情報・計算



量子誤り訂正

実現

量子暗号
の安全性

誤り耐性
量子計算

量子重力

(Ads/CFT)

吉田紅さんのセミナー

トイモデル

量子アルゴリズム

トポロジカル

量子計算

複雑性

トイモデル

復号化問題

可解模型

TQFT

(Jones多項式)

量子相

(トポロジカル秩序)

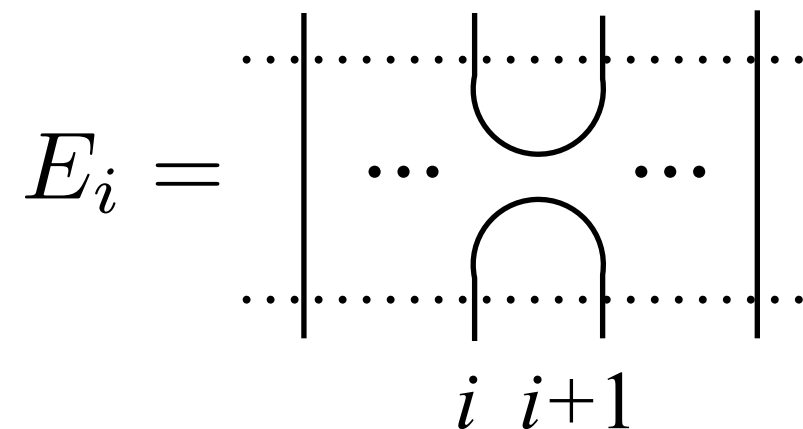
統計力学

(スピングラス)

レポート：Path-model表現

$z_i \in \{1, \dots, k-1\}$: ステップ i の前にいた頂点

↓ブレイド群の表現になっていることを示せ.



$$\tilde{\rho}(\sigma_i) \equiv A\rho(E_i) + A^{-1}I$$

↓TL代数の表現になっていることを示せ.

$$\rho(E_i)|\dots v_{i-1} 00 v_{i+2} \dots\rangle = 0,$$

$$\rho(E_i)|\dots v_{i-1} 01 v_{i+2} \dots\rangle = \frac{\lambda_{z_i-1}}{\lambda_{z_i}} |\dots v_{i-1} 01 v_{i+2} \dots\rangle + \frac{\sqrt{\lambda_{z_i+1} \lambda_{z_i-1}}}{\lambda_{z_i}} |\dots v_{i-1} 10 v_{i+2} \dots\rangle,$$

$$\rho(E_i)|\dots v_{i-1} 10 v_{i+2} \dots\rangle = \frac{\lambda_{z_i+1}}{\lambda_{z_i}} |\dots v_{i-1} 10 v_{i+2} \dots\rangle + \frac{\sqrt{\lambda_{z_i+1} \lambda_{z_i-1}}}{\lambda_{z_i}} |\dots v_{i-1} 01 v_{i+2} \dots\rangle,$$

$$\rho(E_i)|\dots v_{i-1} 11 v_{i+2} \dots\rangle = 0,$$

$$\lambda_j = \sin(j\pi/k) \quad A = ie^{-i\pi/(2k)} \quad d = 2 \cos(\pi/k)$$

$(j = 1, \dots, k-1)$

→ $\rho(E_i)$ はエルミート、 $\tilde{\rho}(\sigma_i)$ はユニタリ演算子 ← 示せ.